



A quantitative gamma-ray spectrometric airborne geophysical survey of Southern Alberta, Southern Saskatchewan, and Western Manitoba was completed by Fugro Airborne Surveys. The survey was flown from August 4 to September 20, 2010 using a Cessna 208B Caravan aircraft (C-GNCNA) and a Cessna 404 Caravan aircraft (C-FYAU). The nominal traverse line spacing was 500 m, and the aircraft flew at a nominal terrain clearance of 150 m at an air speed between 200 and 270 km/h. Traverse lines were oriented 90°. The flight path was recovered following post-flight differential corrections to raw data recorded by a Global Positioning System.

Gamma-ray Spectrometric Data

The airborne gamma-ray measurements were made with Exploranium GR8220 gamma-ray spectrometers. Each detector system consisted of fourteen 102 x 102 mm NaI (Tl) crystals. The main detector arrays consisted of twelve crystals (total volume 8.4 litres), shielded by the main arrays, were used to detect variations in background radiation caused by atmospheric radar. The systems constantly monitored the natural thorium peak for each crystal, and using a Gaussian least square algorithm, adjusted the gain for each crystal.

Potassium is measured directly by the 1460 keV gamma-ray photons emitted by K^{40} , whereas uranium and thorium are measured indirectly from gamma photons emitted by their decay products (^{232}Th for thorium and ^{238}U for thorium). All three of these isotopes have their own respective decay chains; they are assumed to be in equilibrium with their parents; thus gamma-ray spectrometric measurements of uranium and thorium are referred to as equivalent uranium and equivalent thorium, i.e. eU and eTh. The energy windows used to measure potassium, uranium and thorium are, respectively, 1370 – 1570 keV, 1660 – 1860 keV, and 2410 – 2810 keV.

Gamma-ray spectra were recorded at one-second intervals. During processing, the spectra were energy binned, and the counts were accumulated into the windows described above. Collected data from the radar detectors were recorded in a 1000 – 1800 keV window and radiation energies greater than 2000 keV were recorded in a 2000 – 2700 keV window. These data were combined to limit background activity from cosmic radiation, radioactivity of the aircraft and atmospheric radar decay products. The window data were then corrected for spectral scattering in the ground, air and detectors. Corrections for deviations from the planned terrain clearance and for variation of temperature and pressure were made prior to converting to ground concentrations of potassium, uranium and thorium, using factors determined from flights over the Breckenridge, Colorado calibration range. The factors for potassium, uranium and thorium were, respectively, 74.92 cps/km, 7.47 cps/km, and 4.26 cps/km for C-FYAU and 78.92 cps/km, 6.07 cps/km, and 5.32 cps/km for C-GNCNA.

Corrected data were filtered and interpolated to a 500 m grid interval. The results of an airborne gamma-ray spectrometric survey represent the average surface concentrations of potassium, uranium and thorium over the area surveyed. The natural air absorbed dose rate in nanograys per hour was computed from the measured concentrations of potassium, uranium and thorium. A more comprehensive description of airborne gamma-ray spectrometry surveys including technical specifications, instrumentation, calibration, data processing and interpretation is covered by Grasty et al., (1991), Grasty and Minty (1995), and the International Atomic Energy Agency (2003) and references therein.

LEVÉ GÉOPHYSIQUE AÉROPORTÉ

Un levé géophysique aéroporté de spectroscopie gamma a été réalisé dans le sud de l'Alberta, le sud de la Saskatchewan, et le centre-ouest du Manitoba pour évaluer les niveaux de radon dans le sol et à la surface. Le levé a été effectué à une altitude nominale de 150 m au-dessus du sol et que la vitesse était de 200 à 270 km/h. Les lignes de vol étaient orientées à 90°. La trajectoire a été restituée par l'application après le vol de corrections différentielles aux données brutes enregistrées avec un récepteur GPS.

Donnees de spectroscopie gamma

Les mesures du rayonnement gamma ont été effectuées respectivement à l'aide d'un spectroscopie gamma Exploranium GR8220 utilisant quatre cristaux de NaI (Tl) de 102 x 102 mm. Le réseau de capteurs se compose de douze cristaux (volume total de 8.4 litres), protégés par le réseau principal, ont été utilisés pour déceler les variations du rayonnement naturel causées par le rayonnement atmosphérique. Le réseau de capteurs a été utilisé pour faire un suivi continu des thèmes pour chaque des cristaux, et, au moyen d'un algorithme d'estimation directe, les radionucléides de thorium et d'uranium sont mesurés indirectement à partir des photons gamma émis par des produits de filtre (B^{24} pour l'uranium et Tl^{130} pour le thorium). Bien que ces radionucléides de filtre se trouvent loin dans leur chaîne respective de désintégration, on presume qu'ils sont en équilibre avec leur radionucléide père, ainsi, les mesures spectrométriques du rayonnement gamma de l'uranium et du thorium sont désignées comme des équivalents d'uranium et des équivalents de thorium, e.p.U et e.Th. Des facteurs spécifiques sont utilisés pour mesurer le potassium, l'uranium et le thorium sont respectivement 1370 à 1570 keV, de 1660 à 1860 keV et de 2410 à 2810 keV.

Les spectres de rayonnement gamma ont été enregistrés pendant des intervalles d'une seconde. Pendant le traitement, les spectres ont été courbés à un étalonnage énergétique et les coups ont été cumulés dans des plages décrivantes ci-dessous. Les coups obtenus à l'aide des capteurs de radon ont été enregistrés dans la plage de 1660 à 1860 keV et le rayonnement à des énergies supérieures à 3 000 keV a été enregistré dans la plage de rayonnement cosmique, de la radioactivité de l'atmosphère et des produits de désintégration du radon atmosphérique. Les données pour les plages ont ensuite été corrigées pour tenir compte de la diffusion spectrale dans le sol, l'air et les capteurs. Les corrections pour les écarts à la hauteur de vol peuvent être appliquées aux données brutes enregistrées avec un récepteur GPS. Les facteurs déterminés pour la spectroscopie gamma aéronautique, incluant les spécifications techniques, l'instrumentation, la calibration, le traitement et l'interprétation des données a été présentée par Grasty et al., (1991), Grasty et Minty (1995), et par l'Agence Internationale d'Energie Atomique (2003).

Un filtre a été appliqué aux données de spectre combinées, qui ont ensuite été interpolées suivant un grilleau de 500 m. Les résultats d'un levé aérien de spectroscopie gamma ont également été influencés par les conditions variées des affleurements, des morts-mariées, de la couverture végétale et de l'eau de surface. Conséquemment, les concentrations mesurées sont habituellement plus faibles que les concentrations réelles dans le substratum rocheux. Le débit naturel de la dose absorbée par l'air, en nanograys à l'heure, a été déterminé d'après les mesures mesurées de potassium, d'uranium et de thorium. Une description plus complète de la spectroscopie gamma aéronautique, incluant les spécifications techniques, l'instrumentation, les techniques de calibration, le traitement et l'interprétation des données a été présentée par Grasty et al., (1991), Grasty et Minty (1995), et par l'Agence Internationale d'Energie Atomique (2003).

References/Références

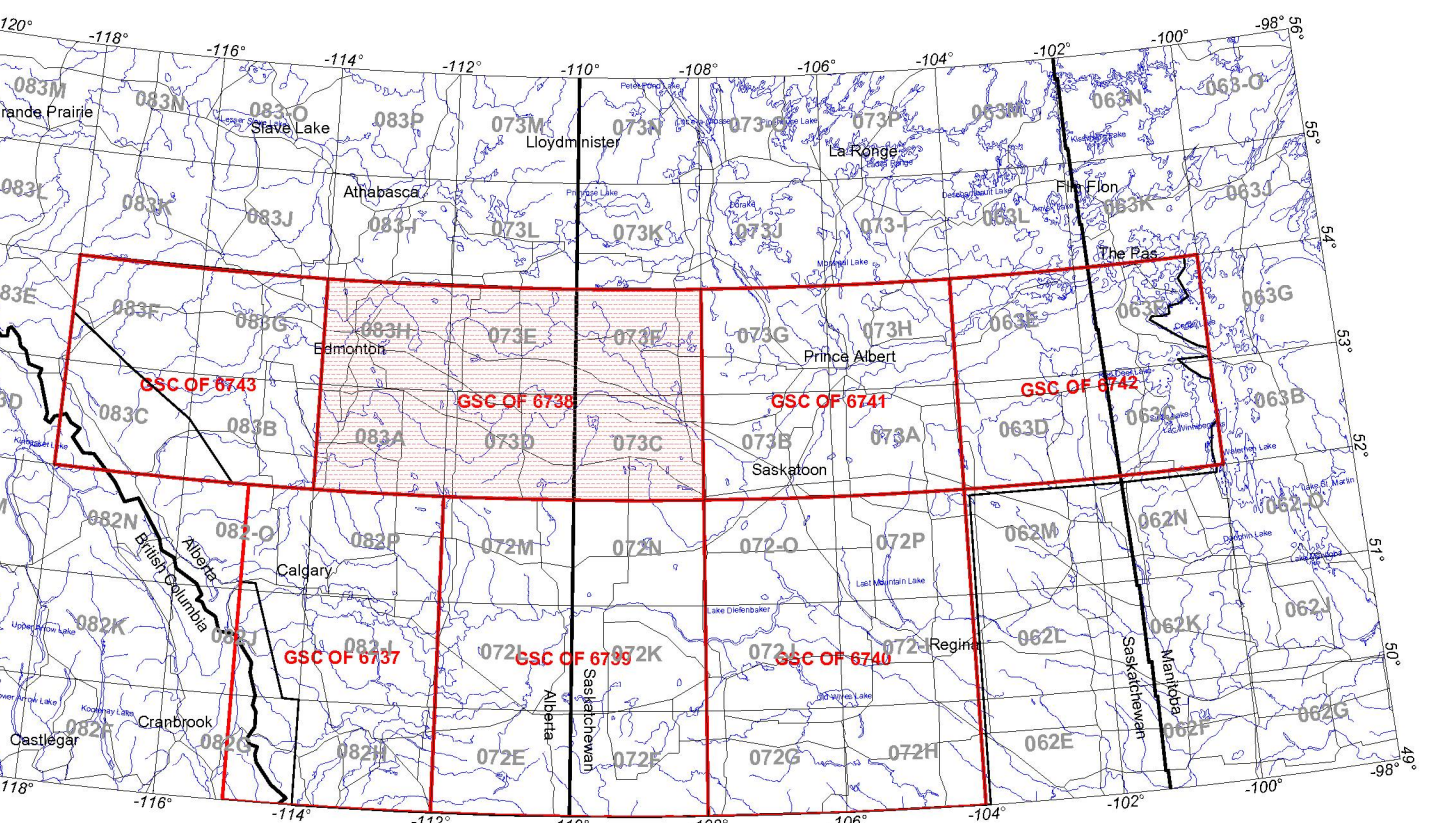
Grasty, R.L., Melander, H. and Parker, M. (1991) Airborne Gamma-ray spectrometer surveying: International Atomic Energy Agency, Technical Report Series 323, Vienna, 97 p.

Grasty, R.L. and Minty, B.R.S. (1995) A guide to the technical specifications for airborne gamma-ray surveys; Australian Geological Survey Organisation, Recueil 1995/60, 89 p.

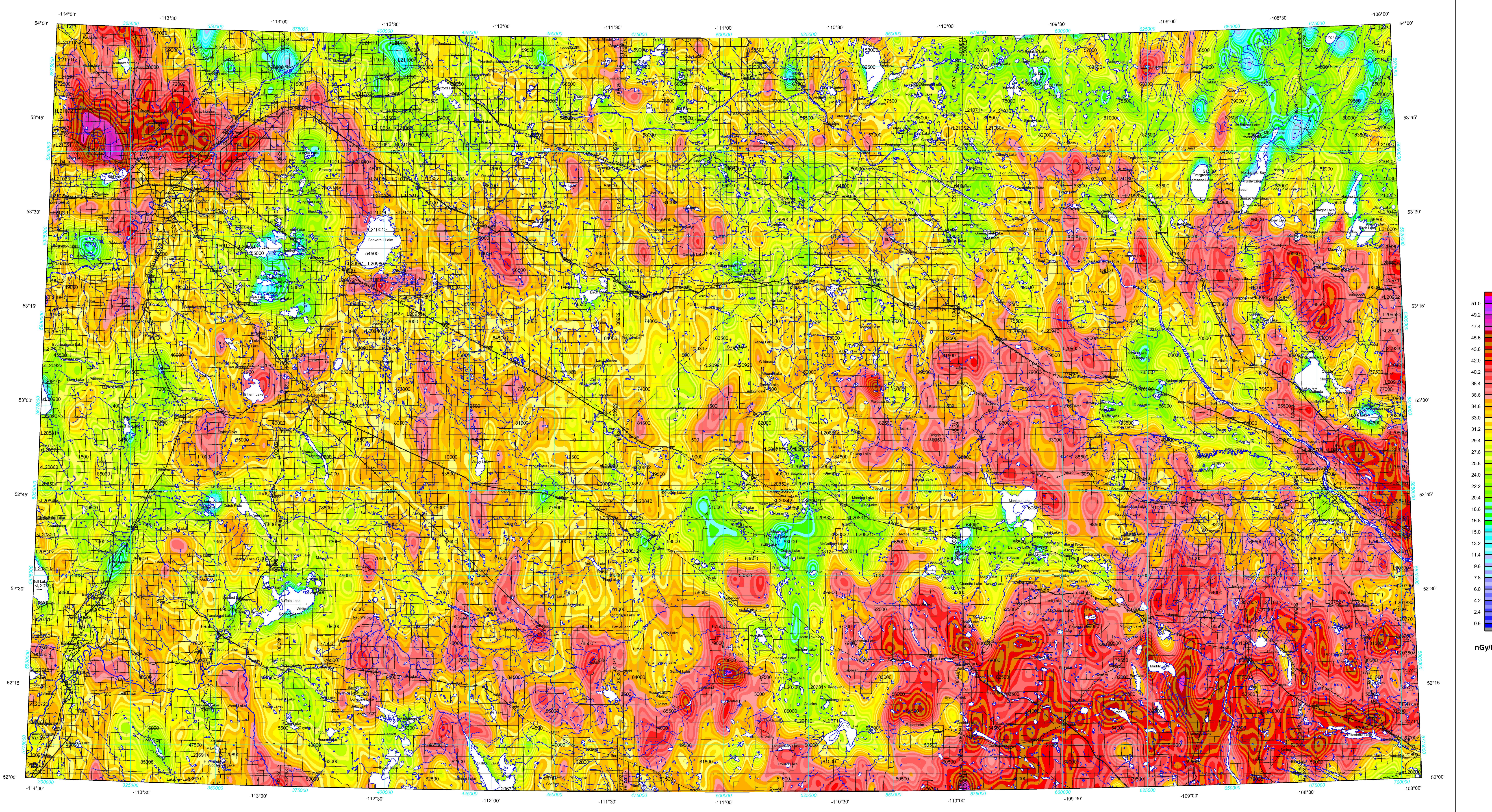
International Atomic Energy Agency. 2003. Guidelines for radioelement mapping using gamma-ray spectrometry data. IAEA-TECDOC-1363, 173p.

PLANIMETRIC SYMBOLS SYMBOLES PLANIMÉTRIQUES

Roads Routes
Railway Chemin de fer
Power Line Ligne de transport d'énergie
Drainage Drainage
Flight path Ligne de Vol



NATIONAL TOPOGRAPHIC SYSTEM REFERENCE AND GEOGRAPHICAL MAP INDEX
SYSTÈME NATIONAL DE RÉFÉRENCE CARTOGRAPHIQUE ET INDEX DES CARTES GÉOPHYSIQUES



This map was produced by Natural Resources Canada in co-operation with Health Canada.

Cette carte a été produite par Ressources naturelles Canada en collaboration avec Santé Canada.

GSC OPEN FILE 6738 / DOSSIER PUBLIC 6738 DE LA CGC

GEOPHYSICAL SERIES / SÉRIE DES CARTES GÉOPHYSIQUES
NTS 73 C, 73 D, 73 E, 73 F, 83 A, and 83 H / SNRC 73 C, 73 D, 73 E, 73 F, 83 A et 83 H

AIRBORNE GEOPHYSICAL SURVEY, WAINWRIGHT, ALBERTA-SASKATCHEWAN
LEVÉ GÉOPHYSIQUE AÉROPORTÉ, WAINWRIGHT, ALBERTA-SASKATCHEWAN

Authors: Carson, J.M., Ford, K.L., Hefford, S.,
Fortin, R. and Harvey, B.J.A.

Data acquisition, compilation and map production by Fugro Airborne Surveys, Ottawa, Ontario. Contract and project management by the Geological Survey of Canada, Ottawa, Ontario.

Auteurs: Carson, J.M., Ford, K.L., Hefford, S.,
Fortin, R. et Harvey, B.J.A.

L'acquisition, la compilation et la production des cartes furent effectuées par Fugro Airborne Surveys, Ottawa, Ontario. La gestion et la supervision du projet furent effectuées par la Commission géologique du Canada, Ottawa, Ontario.

NATURAL AIR ABSORBED DOSE RATE
TAUX D'ABSORPTION NATUREL DES RAYONS GAMMA DANS L'AIR

Scale 1:500 000 - Échelle 1/500 000

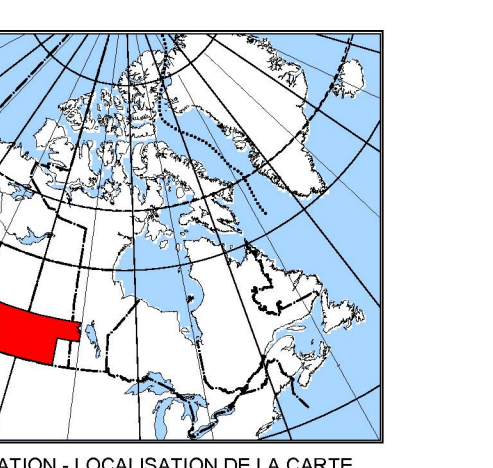
Kilometres 0 10 20 30 40 Kilometres

NAD83 / UTM zone 12N

Universal Transverse Mercator Projection
North America Datum 1983
© Her Majesty the Queen in Right of Canada 2011
Projection transversale universelle de Mercator
Système de référence géodésique nord-américain, 1983
© Le Gouvernement du Canada, 2011

Digital Topographic Data provided by Geomatics Canada, Natural Resources Canada

Données topographiques numériques de Geomatics Canada, Ressources naturelles Canada



MAP LOCATION - LOCALISATION DE LA CARTE

| MAP SHEET SUMMARY / SOMMAIRE DES FEUILLES | |
|--|---|
| CGC Sheet / Feuille CGC | |
| 1. Natural Air Absorbed Dose Rate | Taux d'absorption naturel des rayons gamma dans l'air |
| 2. Potassium | Potassium |
| 3. Uranium | Uranium |
| 4. Thorium | Thorium |
| 5. Uranium / Thorium | Uranium / Thorium |
| 6. Uranium / Potassium | Uranium / Potassium |
| 7. Cancon, J.M., Ford, K.L., Hefford, S., Fortin, R. and Harvey, B.J.A., 2011. | Ternary Radioelement Map Diagramme ternaire des radonéléments |
| 8. Ternary Radioelement Map Diagramme ternaire des radonéléments | |

Recommended citation:
Carson, J.M., Ford, K.L., Hefford, S., Fortin, R. and Harvey, B.J.A., 2011.

Le dossier public contient les produits qui sont destinés à l'usage des clients et qui sont soumis au processus officiel de publication de la CGC.

Sheet 1 of 2 FEUILLET 1 DE 2

Open file products that have not gone through the official publication process.

Notation bibliographique conseillée:
Carson, J.M., Ford, K.L., Hefford, S., Fortin, R. et Harvey, B.J.A., 2011.

Le dossier public contient les produits qui sont destinés à l'usage des clients et qui sont soumis au processus officiel de publication de la CGC.

Édition géologique du Canada, Dossier public 6738.